

05.2; 08; 09

(C) 1993

ВОЗБУЖДЕНИЕ ГИПЕРЗВУКА С ПОМОЩЬЮ НЕОДНОРОДНОЙ  
ПО ТОЛШИНЕ ПЛЕНКИ ЖЕЛЕЗО-ИТТРИЕВОГО ГРАНАТАЮ.В. Гуляев, П.Е. Зильберман,  
А.Г. Темирязев, М.П. Тихомирова

Известно, что одним из способов возбуждения в твердом теле упругих волн (УВ) в СВЧ диапазоне является использование эффекта магнитоупругого взаимодействия. Наиболее сильно данный эффект проявляется при совпадении фазовых скоростей поперечных упругих и спиновых волн (СВ). В точке синхронизма, где фазовые скорости, а следовательно, и волновые числа СВ и УВ совпадают, возможна эффективная перекачка энергии магнитных колебаний в упругую систему. В железо-иттриевом гранате (ЖИГ) как спиновые, так и упругие волны имеют весьма низкие потери, что делает данный материал перспективным для реализации подобного механизма возбуждения УВ. Серьезной проблемой, однако, остается возбуждение коротких спиновых волн, поскольку: 1) с ростом частоты  $\omega$  уменьшается длина волны звука, следовательно, необходимо возбуждать и более короткие СВ; 2) спиновые волны практически не взаимодействуют с полем электромагнитной накачки, если размеры антennы превышают длину волны. В ряде работ (например, [1, 2]) для возбуждения СВ были использованы пространственно неоднородные среды. Неоднородность возникла за счет поля размагничивания, существующего на торце намагниченного стержня ЖИГ, и приводила к постепенному изменению волнового числа СВ  $q$  от значения  $q \sim 0$ , обеспечивающего связь с электромагнитной волной, до величины  $q \sim 10^4 \text{ см}^{-1}$ , достаточной для возбуждения звука на частотах  $\sim 500 \text{ МГц}$ .

В данной работе приводятся экспериментальные данные, показывающие, что при использовании неоднородных по толщине пленок ЖИГ наблюдается возбуждение УВ на частотах 3–12 ГГц и имеется принципиальная возможность дальнейшего увеличения рабочей частоты. Особенности распространения спиновых волн в неоднородных пленках были рассмотрены в работе [3]. Будем считать, что эффективная намагниченность  $M$  зависит от координаты  $x$  по толщине пленки. Под  $M$  будем понимать сумму намагниченности насыщения  $M_{sat}$  и поля анизотропии  $H_a$ :  $4\pi M = 4\pi M_{sat} + H_a$ . Изменение  $M(x)$  приводит к тому, что волновое число  $q$  спиновой волны, распространяющейся вглубь пленки, является функцией координаты  $x$  и для пленки, намагниченной нормально к поверхности, определяется соотношением:

$$\frac{\omega}{r} = H - 4\pi M(x) + A \cdot q(x)^2, \quad (1)$$

где  $H$  – внешнее магнитное поле,  $\chi$  – гиromагнитное отношение,  $A = 4.55 \cdot 10^{-9}$  Э.см<sup>2</sup> – константа неоднородного обмена в ЖИГ. Условием эффективного возбуждения спиновой волны внешним электромагнитным полем является наличие внутри пленки слоя, содержащего точку  $x = x_1$ , в которой  $q(x_1) = 0$ . Тогда

$$\frac{\omega}{\gamma} = H - 4\pi M(x_1). \quad (2)$$

Эффективная связь между СВ и УВ возникнет в некотором слое, содержащем точку  $x = x_2$ , в которой волновые числа этих волн равны:  $q = q_{UB}$ . При этом

$$\frac{\omega}{\gamma} = H - 4\pi M(x_2) + A \cdot \left(\frac{\omega}{V}\right)^2, \quad (3)$$

где  $V = 3.85 \cdot 10^5$  см/с – скорость поперечного звука в ЖИГ. Из условий (2) и (3) видно, что перепад эффективной намагниченности между точками  $x_1$  и  $x_2$  должен удовлетворять условию

$$4\pi M(x_2) - 4\pi M(x_1) = A \cdot \left(\frac{\omega}{V}\right)^2. \quad (4)$$

Следовательно, амплитуда изменения намагниченности  $\Delta M$  определяет максимальное значение частоты звука  $\omega_{max}$ , который может быть возбужден данной пленкой:

$$\omega_{max} = V \cdot \sqrt{\frac{4\pi \Delta M}{A}}. \quad (5)$$

Экспериментально исследовались спектры поглощения нормально намагниченной пленки ЖИГ толщиной  $S = 15$  мкм, эпитаксиально выращенной на подложке из гадолиний-галлиевого граната ориентации (111). На рис. 1, а представлена зависимость СВЧ мощности  $P$ , поглощенной в пленке от величины внешнего магнитного поля  $H$  при фиксированном значении частоты. Видно, что на кривой  $P(H)$  имеются две различные области, разделенные перетяжкой (отмечена стрелкой). Справа от перетяжки наблюдаются осцилляции  $P$  (пики поглощения) весьма регулярного вида, слева – картина осцилляций искажена. Обозначим за  $\Delta H$  расстояние по магнитному полю между областью перетяжки и правой границей области осцилляций (поле  $H_0$  на рис. 1). Видно, что с ростом частоты (рис. 1, б) величина  $\Delta H$  возрастает. Покажем, что как само по себе наличие перетяжек, так и искажение спектра в области малых магнитных полей обусловлены магнитоупругим взаимодействием

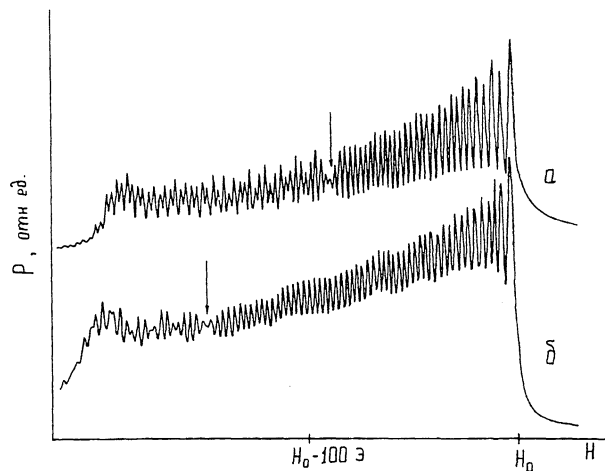


Рис. 1. Зависимость мощности, поглощенной пленкой ЖИГ от величины внешнего магнитного поля. а -  $\omega/2\pi = 7854$  МГц,  $H_0 = 4814$  Э; б -  $\omega/2\pi = 10300$  МГц,  $H_0 = 5587$  Э.

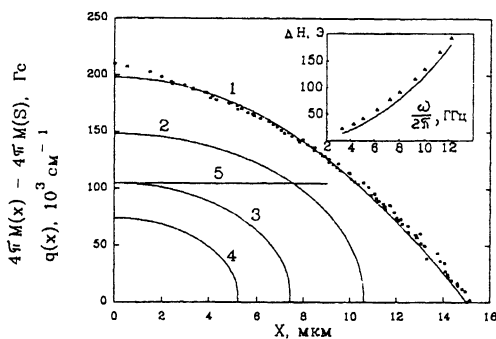


Рис. 2. Профиль эффективной намагниченности и изменение волнового числа по толщине пленки. Точки - экспериментальные значения  $4\pi M(x) - 4\pi M(S)$ . Кривая 1 - профиль намагниченности  $4\pi M(x) = 4\pi M(0) - 4\pi M \cdot (x/S)^2$  при  $4\pi M = 198$  Гс. Кривые 2-4 - изменение волнового числа  $q(x)$  при 2 -  $H < H^*$ ,  $\delta H = 100$  Э; 3 -  $H = H^*$ ,  $\delta H = 50$  Э; 4 -  $H > H^*$ ,  $\delta H = 25$  Э. Линия 5 - волновое число УВ при  $\omega/2\pi = 6400$  МГц. На вставке: экспериментальные точки  $\Delta H(\omega)$  и расчетная кривая  $\delta H^*(\omega)$ .

и свидетельствуют о возбуждении УВ. На рис. 2 показан профиль изменения эффективной намагниченности исследуемой пленки, восстановленный по методике, изложенной в работе [3]. Видно, что экспериментальные точки хорошо ложатся на параболическую зависимость  $4\pi M(x) = 4\pi M(0) - 4\pi M \cdot (x/S)^2$  при  $4\pi M = 198$  Гс.

Зависимость  $q(x)$  при параболическом изменении  $M(x)$  описывается уравнением эллипса:

$$\frac{q^2}{a^2} + \frac{x^2}{b^2} = 1, \text{ где } a^2 = \frac{\delta H}{A}, b^2 = \frac{S^2 \cdot \delta H}{4\pi M}, \delta H = \frac{\omega}{\gamma} - H + 4\pi M(0).$$

При уменьшении  $H$  величина  $\delta H$  возрастает, увеличиваются размеры эллипса (рис. 2), и при некотором поле  $H = H^*$  величина  $q(0) = \sqrt{\frac{\delta H}{A}}$

достигает значения  $q(0) = q_{UB}$ , то есть возникает точка синхронизма СВ и УВ. При  $H < H^*$  и при том условии, что точка  $x_0$ , удовлетворяющая (2), лежит внутри пленки, вблизи точки синхронизма возбуждается УВ. Наиболее эффективное возбуждение происходит при  $H \approx H^*$ , когда соотношение  $q \approx q_{UB}$  выполняется в пространственно широком слое. Поскольку взаимодействие СВ и УВ приводит к перестройке их дисперсионных зависимостей, искается и спектр поглощения пленки при  $H < H^*$ . Наиболее сильное изменение спектра (перетяжка) наблюдается на правой границе данной области, то есть при  $H \approx H^*$ . В точке  $H = H^*$  значение  $\delta H$  равно  $\delta H^* = A(\frac{\omega}{\gamma})^2$ . Экспериментально измеряемая зависимость  $\Delta H(\omega)$  должна соответствовать зависимости  $\delta H^*(\omega)$ , поскольку при  $\delta H = 0$  эллипс стягивается в точку, что соответствует границе области поглощения, то есть  $H \approx H_0$ . Сравнивая экспериментальные значения  $\Delta H(\omega)$  с расчетной кривой  $\delta H^*(\omega)$  (вставка на рис. 2) мы видим, что между ними имеется хорошее согласие.

Некоторый постоянный для всех частот сдвиг экспериментальных значений в сторону больших  $\Delta H$  может быть объяснен имеющимся отклонением реального профиля намагниченности в пленке от использованной в модельном примере параболической зависимости.

Таким образом, результаты эксперимента показывают, что при использовании неоднородных по толщине пленок ЖИГ с перепадом эффективной намагниченности  $4\pi M \approx 200$  Гс, возможно, эффективное возбуждение звука на частотах до 12 ГГц. Поскольку существуют пленки с большим значением  $4\pi M$  [3], частотный диапазон возбуждения УВ может быть увеличен. В этом плане описанный способ возбуждения УВ представляется более перспективным, чем использование субмикронных пленок ЖИГ [4] и пленок ЖИГ с закреплением спинов на поверхности [5].

#### Список литературы

- [1] Strauss W. // Appl. Phys. 1964. V. 35. N 3. Part 2. P. 1022–1023.
- [2] Kohane T., Schrömann E., Joseph R.J. // J. Appl. Phys. 1965. V. 36. N. 3. Part. 2. P. 1267–1268.
- [3] Зильберман П.Е., Темирязев А.Г., Тихомирова М.П. // Письма в ЖТФ. 1992. Т. 18. В. 14. С. 79–83.

- [4] А н д р е е в А.С., Г у л я е в Ю.В., З и л ь б е р -  
м а н П.Е., К р а в ч е н к о В.Б., О г р и н Ю.Ф., Т е м и -  
р я з е в А.Г., Ф и л и м о н о в а Л.М. // П и сь м а в Ж Т Ф .  
1984. Т. 10. В. 2. С. 90-94.; /' Р Э . 1985. Т. 30. В. 10.  
С. 992-998.
- [5] Г о р с к и й В.Б., П о м я л о в А.В. // П и сь м а в Ж Т Ф .  
1989. Т. 15. В. 7. С. 61-64.

Институт радиотехники  
и электроники РАН,  
Фрязинская часть

Поступило в Редакцию  
24 января 1992 г.